



# Processamento Digital de Sinal

Aula 4

4.º Ano – 2.º Semestre

**Manuel A. E. Baptista, Eng.<sup>º</sup>**



## Programa:

1. Introdução ao Processamento Digital de Sinal
2. Representação e Análise de Sinais
3. Estruturas e Projecto de Filtros FIR e IIR
4. Processamento de Imagem
5. Processadores Digitais de Sinal



# Bibliografia:

## Processamento Digital de Sinal:

- Sanjit K. Mitra, "Digital Signal Processing – A computer based approach", McGraw Hill, 1998  
Cota: 621.391 MIT DIG
- Roman Kuc, "Introduction to Digital Signal Processing", McGraw Hill, 1988.  
Cota: 621.391 KUC INT
- Johnny R. Johnson, "Introduction to Digital Signal Processing", Prentice-Hall, 1989.  
Cota: 621.391 JOH INT
- G. Proakis, G. Manolakis, "Digital Signal Processing – Principles, Algorithms Applications", 3<sup>a</sup> Ed, P-Hall, 1996.  
Cota: 621.391 PRO DIG
- James V. Candy, "Signal Processing – The modern Approach", McGraw-Hill, 1988  
Cota: 621.391 CAN SIG
- Mark J. T., Russel M., "Introduction to DSP – A computer Laboratory Textbook", John Wiley & Sons, 1992.  
Cota: 621.391 SMI INT
- James H. McClellan e outros, "Computer-Based Exercises - Signal Proc. Using Matlab 5", Prentice-Hall, 1998.  
Cota: 621.391 MCC COM

## Processamento Digital de Imagem:

- Rafael C. Gonzalez & Richard E. Woods, "Digital Image Processing ", Prentice Hall, 2<sup>a</sup> Ed., 2002.  
Cota: 681.5 GON DIG.
- I. Pittas H. McClellan e outros, "Digital Image Processing Algorithms and Applications", John Wiley & Sons, 2000.  
Cota: 621.391 PIT.
- William K. Pratt, "Digital image processing", John Wiley, 2<sup>a</sup> Ed, 1991.  
Cota: 681.5 PRA DIG
- Bernd Jähne, "Digital image processing : concepts, algorithms, and scientific applications", Springer, 1997.  
Cota: 681.5 JAH

# Avaliação:

A avaliação é composta pela componente teórica e componente prática ponderadas da seguinte forma:

$$\text{Classificação Final} = 80\% * \text{Frequência ou exame} + 20\% * \text{Prática}$$

O acesso ao exame não está condicionado embora não tenha função de melhoria, ou seja, se o aluno entregar a prova de exame, será essa a classificação a utilizar no cálculo da média final independentemente da nota da prova de frequência obtida.

A avaliação prática é constituída por trabalhos laboratoriais a executar em MATLAB

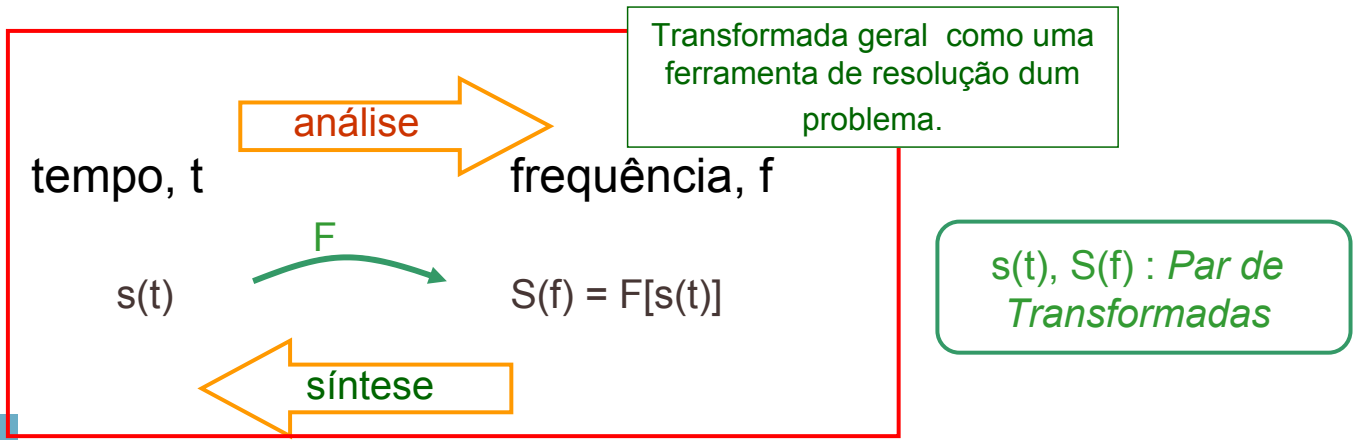
## 2. Representação e Análise de Sinais (cont.)

### • Análise de Fourier

- Transformada de Fourier (FT)
- FT & *generalised impulse*
- Princípio da Incerteza
- Transformada Discreta de Fourier no Tempo (DTFT)
- Transformada Discreta de Fourier (DFT)
- Comparação: DFS, DTFT & DFT
- DFT *leakage & coherent sampling*

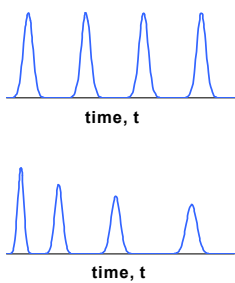
### Análise de Fourier: Porquê?

- Rápida & eficiente inspecção nos blocos de construção do sinal.
- Simplificação do Problema Original - ex.: resolução de Eq. Diferenciais.
- Poderosa & complementar às técnicas de análise no domínio do tempo.
- Várias transformadas em *DSPing*: Fourier, Laplace, z, etc.



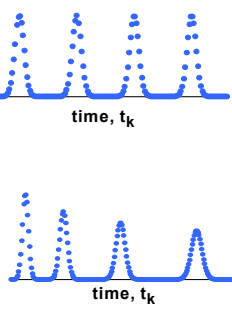
# Análise de Fourier - ferramentas

## Sinal de Entrada no Tempo



Contínuo

Discreto



Periódico  
(período  $T$ )

**FS**

Aperiódico

**FT**

## Espectro de Frequência

$$c_k = \frac{1}{T} \cdot \int_0^T s(t) \cdot e^{-jk\omega t} dt$$

$$S(f) = \int_{-\infty}^{+\infty} s(t) \cdot e^{-j2\pi f t} dt$$

Periódico  
(período  $T$ )

**DFS \*\***

Aperiódico

**DTFT****DFT \*\***

Discreto

Continuo

Discreto

$$\tilde{c}_k = \frac{1}{N} \sum_{n=0}^{N-1} s[n] \cdot e^{-j\frac{2\pi kn}{N}}$$

$$S(f) = \sum_{n=-\infty}^{+\infty} s[n] \cdot e^{-j2\pi f n}$$

$$\tilde{c}_k = \frac{1}{N} \sum_{n=0}^{N-1} s[n] \cdot e^{-j\frac{2\pi kn}{N}}$$

**Nota:**  $j = \sqrt{-1}$ ,  $\omega = 2\pi/T$ ,  $s[n] = s(t_n)$ ,  $N = \text{No. of samples}$

\*\* Calculado via FFT

# Integral de Fourier (FI)

Ferramentas de Análise de Fourier para sinais aperiódicos.

(1)  $s(t)$  contínuo,  
 $s'(t)$  monótona

(2)  $\int_{-\infty}^{+\infty} |s(t)| dt < +\infty$

Teorema do Integral de Fourier  
Any aperiodic signal  $s(t)$  can be expressed as a Fourier integral if  $s(t)$  piecewise smooth<sup>(1)</sup> in any finite interval  $(-L, L)$  and absolute integrable<sup>(2)</sup>.

$$s(t) = \int_0^{+\infty} \{A(\omega) \cdot \cos(\omega t) + B(\omega) \cdot \sin(\omega t)\} d\omega \quad (3)$$

$$(3) \quad A(\omega) = \frac{1}{\pi} \cdot \int_{-\infty}^{+\infty} s(t) \cos(\omega t) dt \quad B(\omega) = \frac{1}{\pi} \cdot \int_{-\infty}^{+\infty} s(t) \sin(\omega t) dt$$

Ligaçāo Real-Complexo

$$S(\omega) = \pi \cdot [A(\omega) - j \cdot B(\omega)]$$

Forma Complexa

análise

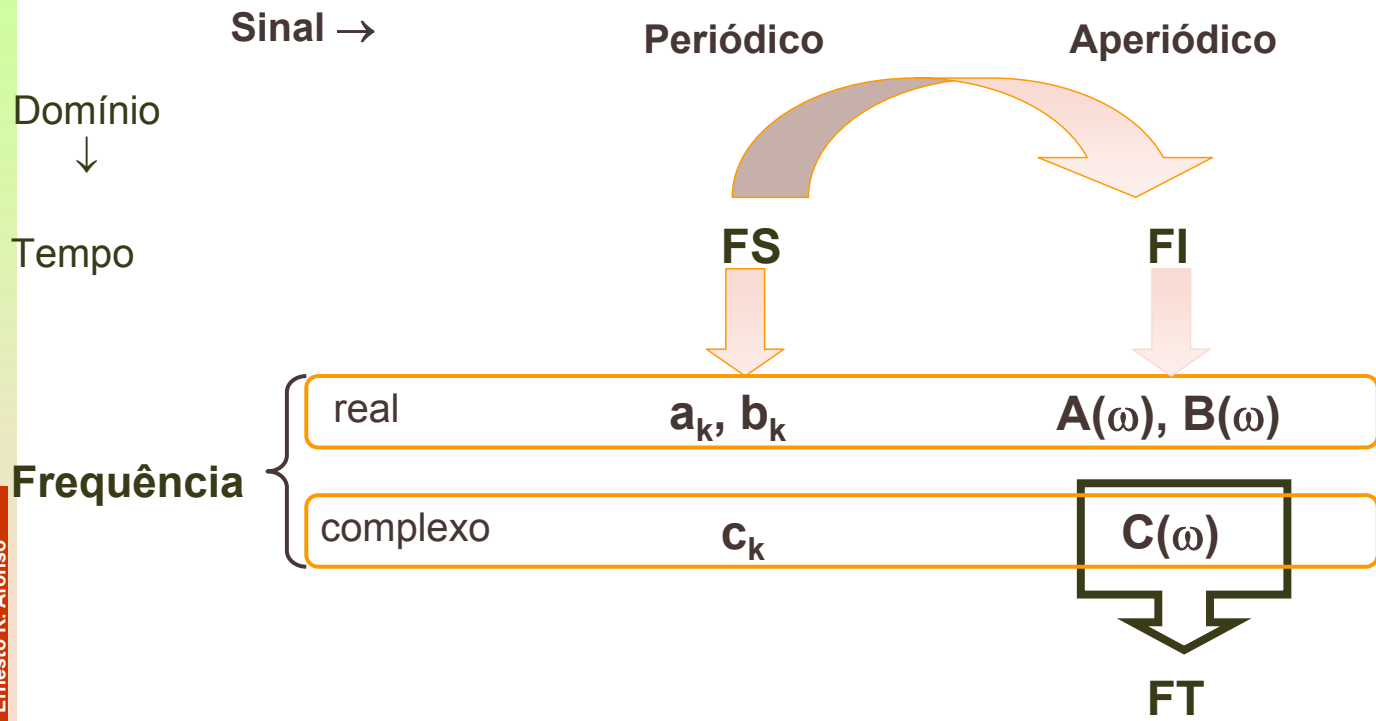
$$S(\omega) = \int_{-\infty}^{+\infty} s(t) \cdot e^{-j\omega t} dt$$

síntese

$$s(t) = \frac{1}{2\pi} \cdot \int_{-\infty}^{+\infty} S(\omega) \cdot e^{j\omega t} d\omega$$

Par de Transformadas - FT

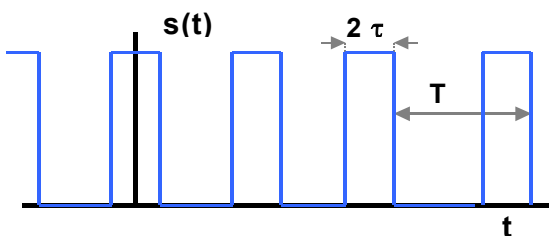
# Resumo



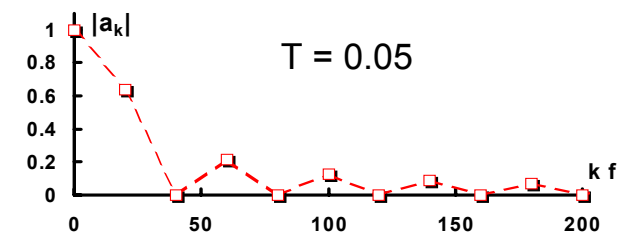
# Da Série - FS para a Transformada - FT

FS tende para FT quando o período  $T$  aumenta:

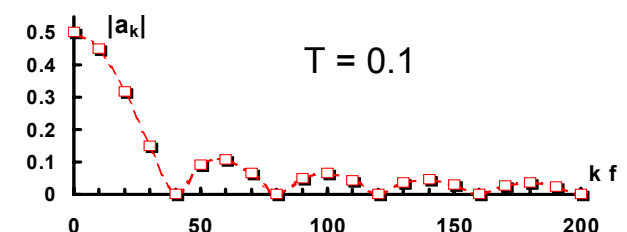
→ espectro contínuo



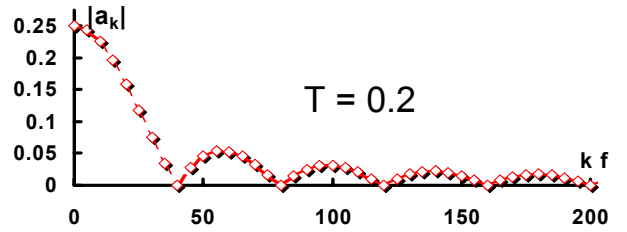
Trem de impulsos, largura  $2\tau = 0.025$



$T = 0.05$

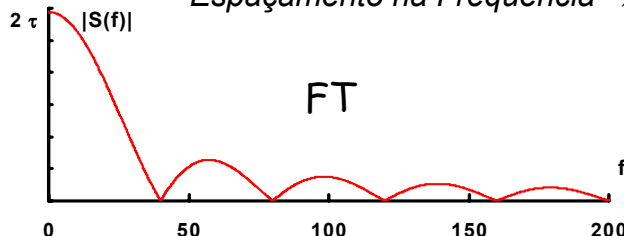


$T = 0.1$



$T = 0.2$

Espaçamento na Frequência → 0 !



Nota:  $|a_k| \rightarrow 2 a_0$  com  $k \rightarrow 0 \Rightarrow 2 a_0$  é traçado em  $k=0$

# Obtenção da FT a partir da FS

*Definição de FS*

$$c_k = \frac{1}{T} \cdot \int_{-T/2}^{T/2} s(t) \cdot e^{-jk\omega t} dt$$

$$s(t) = \sum_{k=-\infty}^{\infty} c_k \cdot e^{jk\omega t}$$

$\Delta f = \Delta\omega/(2\pi) = 1/T$   
espaçamento na frequência

2

$$\Gamma_{\omega_k} \equiv \frac{c_{\omega_k}}{\Delta f} = \int_{-T/2}^{T/2} s(t) \cdot e^{-j\omega_k t} dt$$

$$s(t) = \sum_{\omega_k=-\infty}^{\infty} \Gamma_{\omega_k} \cdot e^{j\omega_k t} \Delta f$$

1

$$c_k = \Delta f \cdot \int_{-T/2}^{T/2} s(t) \cdot e^{-j\omega_k t} dt \equiv c_{\omega_k}$$

$$s(t) = \sum_{\omega_k=-\infty}^{\infty} c_{\omega_k} \cdot e^{j\omega_k t}$$

Com  $\Delta f \rightarrow 0$ , troca-se  $\Delta f$ ,  $\omega_k$ ,  $\sum_{\omega_k=-\infty}^{\infty}$   
por  $df$ ,  $2\pi f$ ,

$$\int_{-\infty}^{+\infty}$$

*Definição de FT*

$$S(f) = \lim_{\Delta f \rightarrow 0} \Gamma_{\omega_k} = \int_{-\infty}^{+\infty} s(t) \cdot e^{-j\omega t} dt$$

$$s(t) = \int_{-\infty}^{+\infty} S(f) \cdot e^{j2\pi ft} df$$



# FT & Delta de Dirac

*Definição de  $\delta$  Dirac*

$$\delta(t - t_0) = \begin{cases} 0, \text{ if } t \neq t_0 \\ \text{undefined, } t = t_0 \end{cases}$$

$$\int_a^b y(t) \delta(t - t_0) dt = \begin{cases} y(t_0), \text{ if } a < t_0 < b \\ 0, \text{ otherwise} \end{cases}$$

A FT dum impulso  $\delta$  (Dirac) é uma exponencial complexa

Assim  $\int_{-\infty}^{+\infty} y(t) \delta(t - t_0) dt = y(t_0)$

*FT do Dirac  $\delta$*   
 $FT\{\delta(t - t_0)\} = e^{-j2\pi f t_0}$

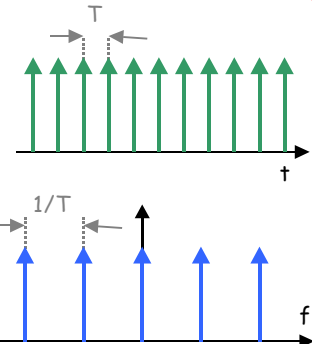
*propriedade*  
 $FT\{e^{j\alpha t}\} = 2\pi \delta(\omega - \alpha)$

*FT dum trem infinito de impulsos  $\delta$ :*

$$FT\left\{ \sum_{k=-\infty}^{+\infty} \delta(t - kT) \right\} = \sum_{m=-\infty}^{+\infty} e^{jm\omega T} = \frac{2\pi}{T} \sum_{m=-\infty}^{+\infty} \delta(\omega - \frac{2\pi}{T} \cdot m)$$

i.e: Função de Amostragem,  $Shah(T) = \mathcal{U}(T)$  ou "comb"

*Nota:*  $\delta$  &  $\mathcal{U}$  = funções "generalizadas"



# Transformada de Fourier - FT - Propriedades

	Tempo	Frequência
<b>Linearidade</b>	$a \cdot s(t) + b \cdot u(t)$	$a \cdot S(f) + b \cdot U(f)$
<b>Multiplicação</b>	$s(t) \cdot u(t)$	$\int_{-\infty}^{+\infty} S(f - \bar{f}) \cdot U(\bar{f}) d\bar{f}$
<b>Convolução</b>	$\int_{-\infty}^{+\infty} s(t - \bar{t}) \cdot u(\bar{t}) d\bar{t}$	$\bar{S}(\bar{f}) \cdot U(f)$
<b>Deslocamento em t</b>	$s(t - \bar{t})$	$e^{-j 2\pi f \bar{t}} \cdot S(f)$
<b>Deslocamento em f</b>	$e^{+j 2\pi \bar{f}} \cdot s(t)$	$S(f - \bar{f})$
<b>Inversão no Tempo</b>	$s(-t)$	$S(-f)$
<b>Diferenciação</b>	$\frac{ds(t)}{dt}$	$j 2\pi f S(f)$
<b>Identidade de Parseval</b>	$\int_{-\infty}^{+\infty} h(t) g^*(t) dt = \int_{-\infty}^{+\infty} H(f) G^*(f) df$	
<b>Integração</b>	$\int_{-\infty}^{+\infty} s(u) du$	$S(f) / (j 2\pi f)$
<b>Energia &amp; Parseval's (E is t-to-f invariant)</b>	$E = \int_{-\infty}^{+\infty}  s(t) ^2 dt = \int_{-\infty}^{+\infty}  S(f) ^2 df$	

# FT – Princípio da Incerteza

## Teorema Larg. Banda

Para duração efectiva  $\Delta t$  & Larg. de Banda  $\Delta f$

$$\exists \gamma > 0 \quad \Delta t \cdot \Delta f \geq \gamma$$

Produto incerteza

## Princípio da Incerteza de Fourier

Para Sinais de Energia:

$$E = \int |s(t)|^2 dt = \int |S(f)|^2 df < \infty$$

Define valores médios

$$\bar{t}^2 = \frac{1}{E} \cdot \int_{-\infty}^{+\infty} t \cdot |s(t)|^2 dt \quad \bar{f}^2 = \frac{1}{E} \cdot \int_{-\infty}^{+\infty} f \cdot |S(f)|^2 df$$

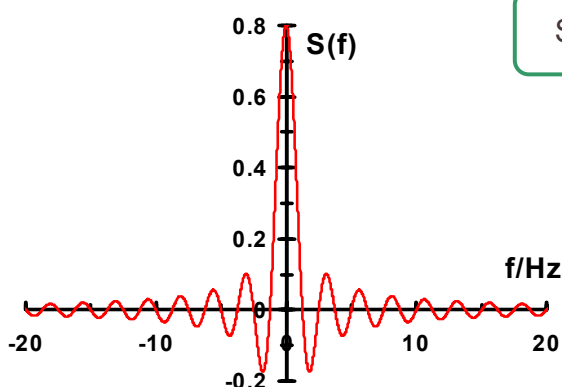
Define desv. pad

$$\Delta t^2 = \frac{1}{E} \cdot \int_{-\infty}^{+\infty} (t - \bar{t})^2 \cdot |s(t)|^2 dt \quad \Delta f^2 = \frac{1}{E} \cdot \int_{-\infty}^{+\infty} (f - \bar{f})^2 \cdot |S(f)|^2 df$$

$$\Rightarrow \Delta t \cdot \Delta f \geq 1/4\pi$$

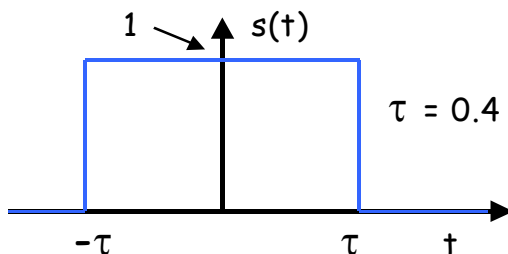
- Limited accuracy on simultaneous observation of  $s(t)$  &  $S(f)$ .
- Good time resolution (small  $\Delta t$ ) requires large bandwidth  $\Delta f$  & vice-versa.

## FT - Exemplo

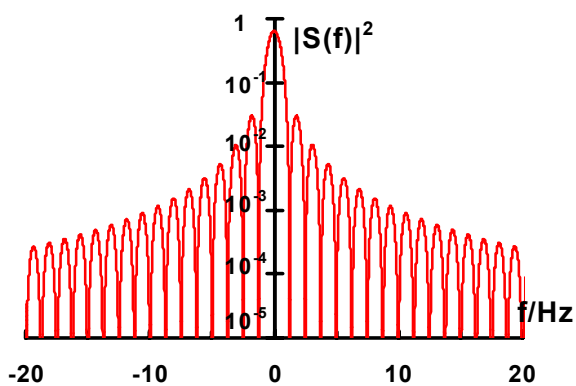


$$S(f) = 2\tau s_{MAX} \text{sync}(2f\tau)$$

FT de  $2\tau$ -Janela  
Rectangular



Incerteza de Fourier



### Escolha

$\Delta t = |\int s(t)/s(0) dt| = 2\tau$ ,  
 $\Delta f = |\int S(f)/S(0) df| = 1/(2\tau)$  = metade da distância entre os 2 primeiros zeros ( $f_{1,-1} = \pm 1/2\tau$ ) of  $S(f)$   
então:  $\Delta t \cdot \Delta f = 1$

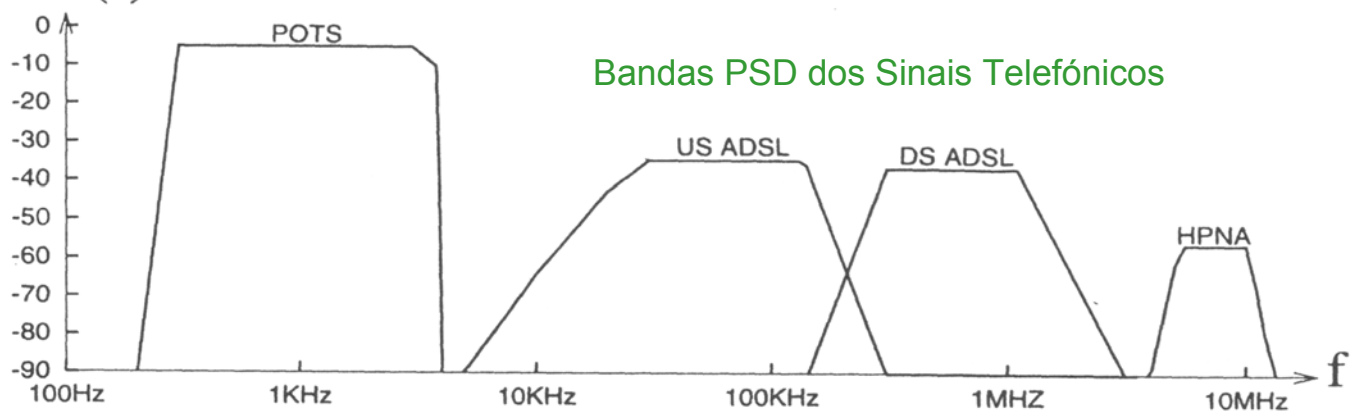
Gráfico Power Spectral Density (PSD) vs. Frequência f.

Note: As fases não são importantes

## FT – Espectro de Potência

Power Spectral Density, PSD(f)  
 $= dE/df = |S(f)|^2$

PSD(f)



Bandas PSD dos Sinais Telefónicos

POTS = Voice/Fax/modem Phone

HPNA = Home Phone Network

US = Upstream

DS = Downstream

A partir do espectro de potência, pode-se saber se os sinais coexistem sem interferirem.

# FT – Formas de Onda mais importantes

	$f(t) = \int_{-\infty}^{\infty} F_p(i\omega) e^{i\omega t} \frac{d\omega}{2\pi}$	$F_p(i\omega) = \int_{-\infty}^{\infty} f(t) e^{-i\omega t} dt$	
	$\text{rect} \frac{t}{T} = \begin{cases} 1 & ( t  < T/2) \\ 0 & ( t  > T/2) \end{cases}$	$T \text{sinc} \frac{\omega T}{2\pi} = T \left( \frac{\sin \frac{\omega T}{2}}{\frac{\omega T}{2}} \right)$	
	$\text{sinc} \frac{t}{T} = \frac{\sin \frac{\omega T}{2}}{\frac{\omega T}{2}}$	$T \text{rect} \frac{\omega T}{2\pi} = \begin{cases} 0 & ( \omega  < \frac{\pi}{T}) \\ T & ( \omega  > \frac{\pi}{T}) \end{cases}$	
	$e^{- t /T}$	$T \text{sinc}^2 \frac{\omega T}{2\pi} = T \left( \frac{\sin \frac{\omega T}{2}}{\frac{\omega T}{2}} \right)^2$	
	$e^{-\frac{ t ^2}{2T^2}}$	$\frac{2T}{(\omega T)^2 + 1}$	
	$e^{-\frac{1}{2} \left( \frac{ t }{T} \right)^2}$	$\sqrt{2\pi} T e^{-\frac{1}{2} (\omega T)^2}$	

	$f(t) = \int_{-\infty}^{\infty} F_p(i\omega) e^{i\omega t} \frac{d\omega}{2\pi}$	$F_p(i\omega) = \int_{-\infty}^{\infty} f(t) e^{-i\omega t} dt$	
	$\delta(t - T)$	$e^{-i\omega t}$	(Complex)
	$\cos \omega_0 t$	$\pi [\delta(\omega - \omega_0) + \delta(\omega + \omega_0)]$	
	$\sin \omega_0 t$	$\frac{\pi}{i} [\delta(\omega - \omega_0) - \delta(\omega + \omega_0)]$	(Imaginary)
	$\sum_{k=-\infty}^{\infty} \delta(t - kT)$ $\equiv \frac{1}{T} \sum_{j=-\infty}^{\infty} e^{2\pi j \frac{k}{T}}$	$\frac{2\pi}{T} \sum_{j=-\infty}^{\infty} \delta(\omega - \frac{2\pi j}{T})$ $\equiv \sum_{k=-\infty}^{\infty} e^{ik\omega T}$	

# Transformada Discreta de Fourier no Tempo - DTFT

DTFT definida como:

Nota: domínio contínuo da frequência! (função densidade da frequência)

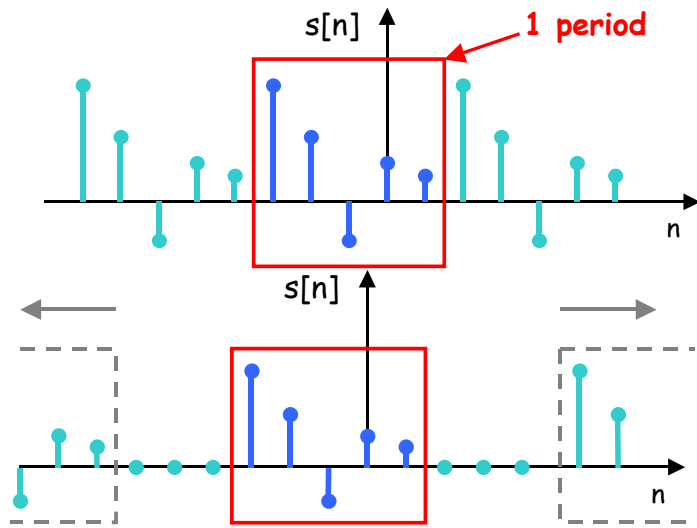
análise

$$S(f) = \sum_{n=-\infty}^{+\infty} s[n] \cdot e^{-j2\pi f n}$$

síntese

$$s[n] = \frac{1}{2\pi} \cdot \int_0^{2\pi} S(f) e^{j2\pi f n} df$$

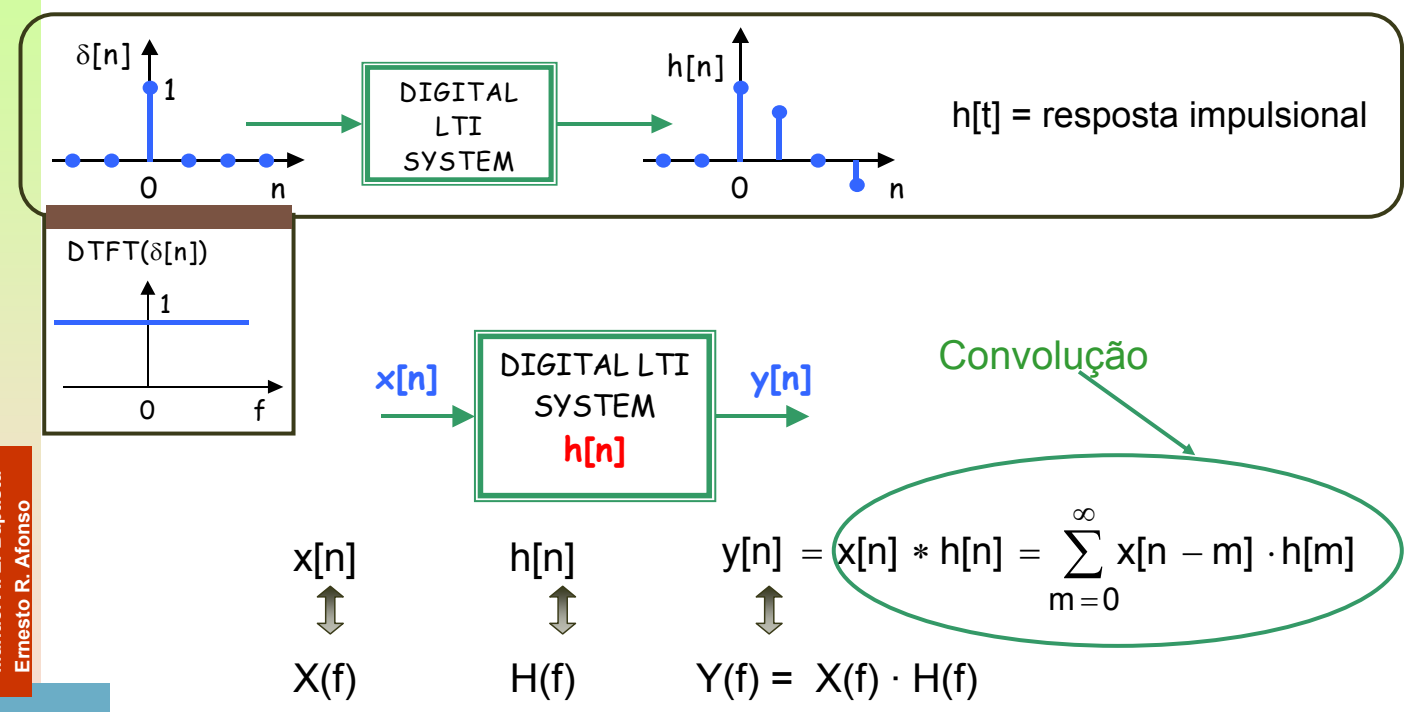
Para sinais aperiódicos

Obtida a partir DFS com  $N \rightarrow \infty$ 

$$\tilde{c}_k = \frac{1}{N} \sum_{n=0}^{N-1} s[n] \cdot e^{-j \frac{2\pi k n}{N}}$$

# DTFT - Convolução

Sistema Digital Linear Invariante no Tempo: obedece ao princípio da sobreposição.



# DTFT - Amostragem/Convolução

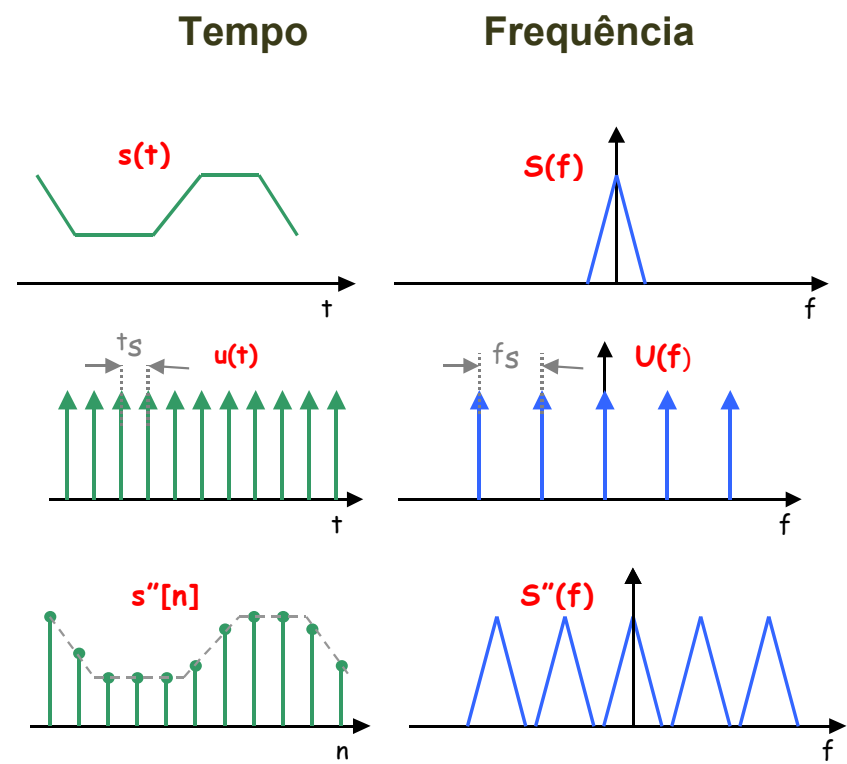
$$\begin{aligned}s[n] * u[n] &\Leftrightarrow S(f) \cdot U(f) , \\ s[n] \cdot u[n] &\Leftrightarrow S(f) * U(f)\end{aligned}$$

(Das propriedades da FT)

**Amostragem**



Multiplicação  $s(t)$  by Shah =  $\sum u(t)$



# Transformada Discreta de Fourier - DFT

DFT definida como:

$$\text{análise} \quad \tilde{c}_k = \frac{1}{N} \sum_{n=0}^{N-1} s[n] \cdot e^{-j \frac{2\pi k n}{N}}$$

$$\text{síntese} \quad s[n] = \sum_{k=0}^{N-1} \tilde{c}_k \cdot e^{j \frac{2\pi k n}{N}}$$

Resolução na frequência

Frequências em análise  $f_m$

$$f_m = \frac{m \cdot f_s}{N}, m = 0, 2, \dots, N-1$$

Impulsos da DFT localizados nas frequências de análise  $f_m$

DFT ~ filtros passa-banda centrados em  $f_m$

- Aplica-se a sinais discretos no tempo e na frequência.
- A mesma forma da DFS mas para sinais aperiódicos: sinal tratado como periódico apenas para efeitos computacionais.

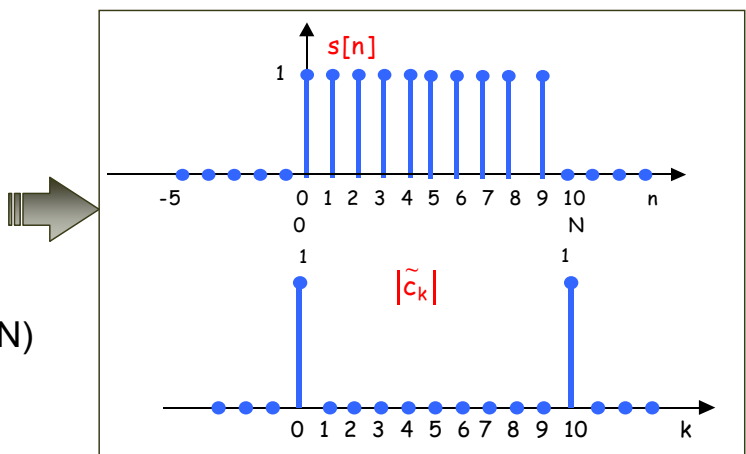
**Nota:**  $\tilde{c}_{k+N} = \tilde{c}_k \Leftrightarrow$  o espectro tem período N

## DFT - impulso & sinusóide

### a) Impulso rectangular, largura N

$$r[n] = \begin{cases} 1, & \text{se } 0 \leq n \leq N-1 \\ 0, & \text{outros} \end{cases}$$

$$\tilde{c}_k = (1/N) e^{-j\pi k(N-1)/N} \sin(\pi k) / \sin(\pi k/N)$$



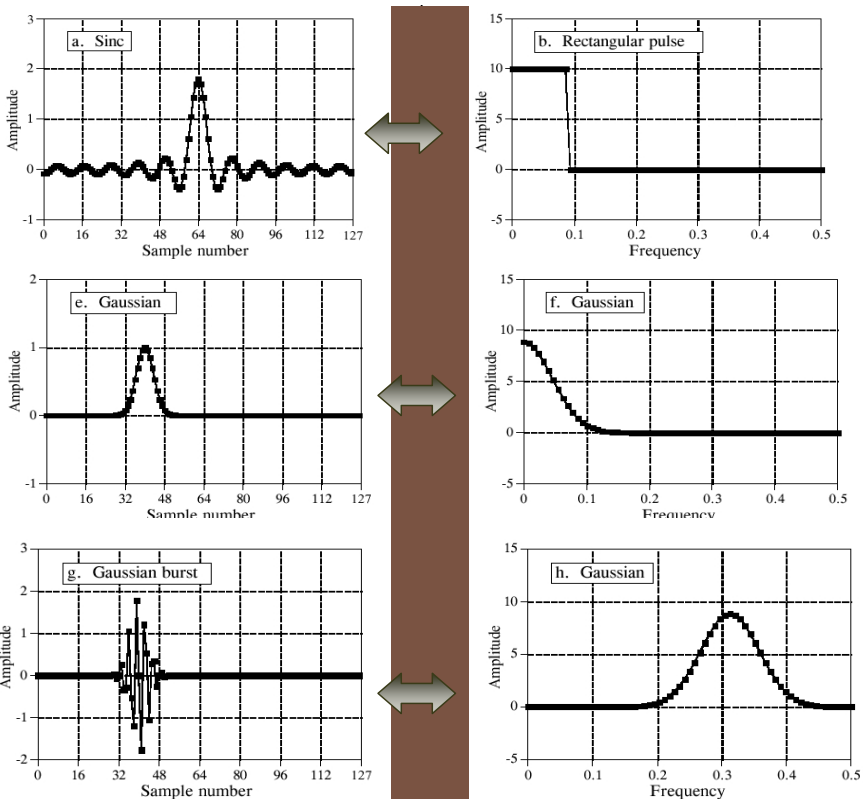
### b) Sinusóide real, frequência $f_0 = L/N$

i.e. L completa ciclos em N pontos amostrados

$$\cos[n] = \cos(j2\pi f_0 n)$$

$$\tilde{c}_k = (1/N) e^{j\pi\{(Nf_0-k)-(Nf_0+k)/N\}} \left( \frac{1}{2} \sin\{\pi(Nf_0-k)\} / \sin\{\pi(Nf_0+k)\} \right) + (1/N) e^{j\pi\{(Nf_0+k)-(Nf_0+k)/N\}} \left( \frac{1}{2} \sin\{\pi(Nf_0+k)\} / \sin\{\pi(Nf_0+k)\} \right)$$

# DFT - Exemplos



# DFT - Propriedades

## Tempo

## Frequência

**Linearidade**

$$a \cdot s[n] + b \cdot u[n]$$

$$a \cdot S(k) + b \cdot U(k)$$

**Multiplicação**

$$s[n] \cdot u[n]$$

$$\frac{1}{N} \cdot \sum_{h=0}^{N-1} S(h)U(k-h)$$

**Convolução**

$$\sum_{m=0}^{N-1} s[m] \cdot u[n-m]$$

$$S(k) \cdot U(k)$$

**Deslocamento em t**

$$s[n-m]$$

$$e^{-j\frac{2\pi k \cdot m}{T}} \cdot S(k)$$

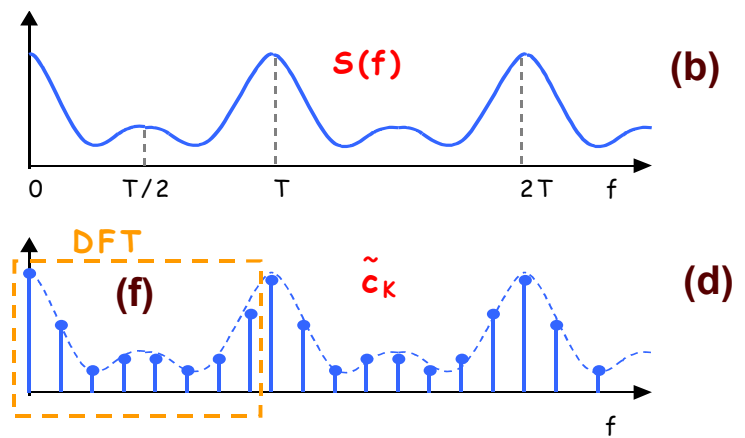
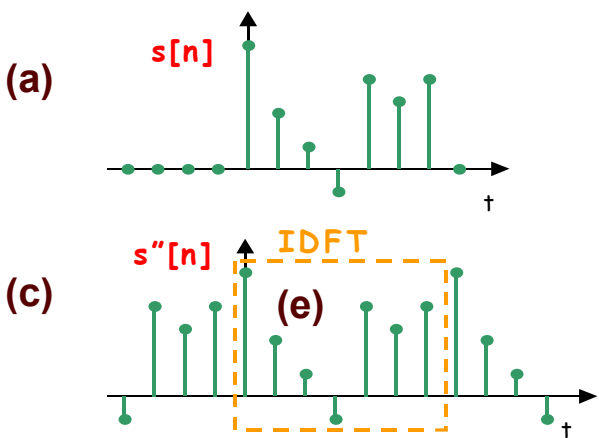
**Deslocamento em f**

$$e^{+j\frac{2\pi h t}{T}} \cdot s[n]$$

$$S(k-h)$$



# DTFT vs. DFT vs. DFS



(a) Sinal discreto aperiódico.

(b) Transformada DTFT - módulo.

(c) Versão periódica de (a).

(d) Coeficientes DFS = amostras de (b).

(e) A Inversa de DFT estima um único período de  $s[n]$

(f) A DFT estima um único período de (d).

# DFT – leakage

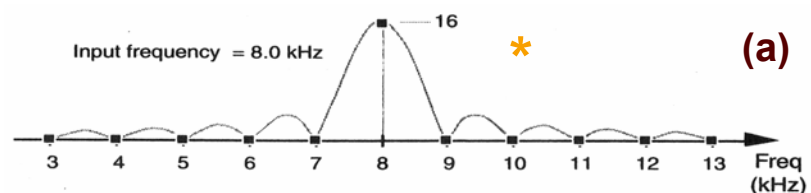
## Leakage

*Spectral components belonging to frequencies between two successive frequency bins propagate to all bins.*

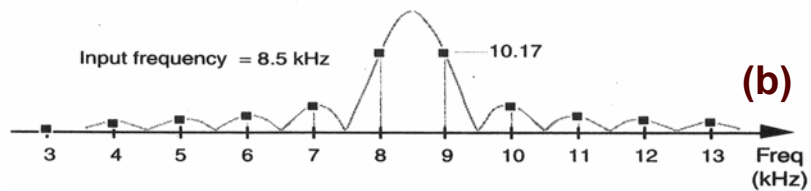
Ex: 32 impulsos da DFT da sinusóide 1 V<sub>P</sub> amostrada a  $f=32\text{kHz}$ .

Resolução/frequência 1 kHz.

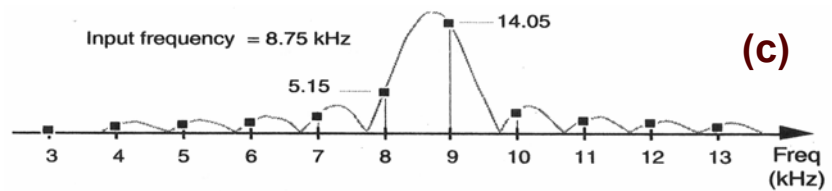
(a) Sinusóide - 8 kHz



(b) Sinusóide - 8.5 kHz



(c) Sinusóide 8.75 kHz

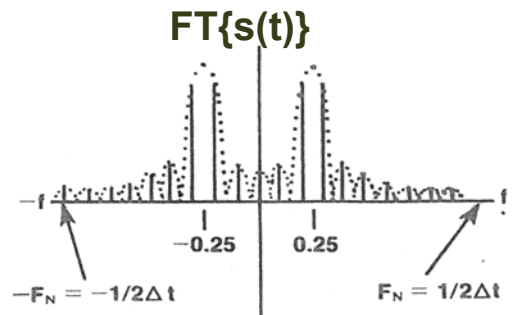
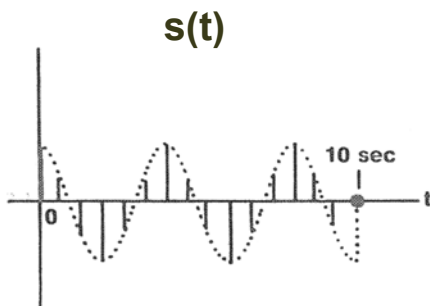


\* Módulo

## DFT – Exemplo: leakage

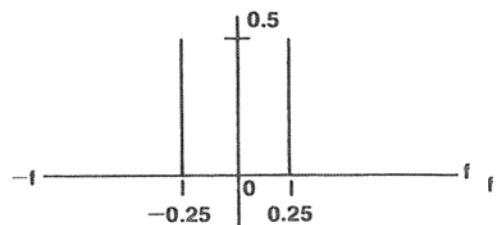
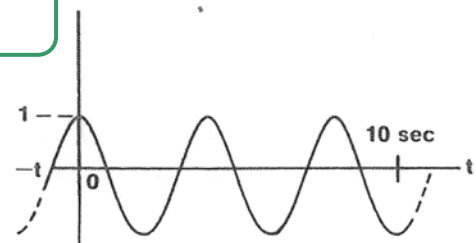
**0.25 Hz - Co-seno**

- 5. Sampled windowed wave



$$s[n] \cdot u[n] \Leftrightarrow S(f) * U(f) \quad (\text{Convolução})$$

1. Cosine wave



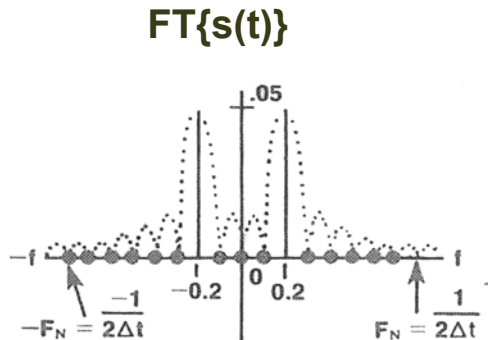
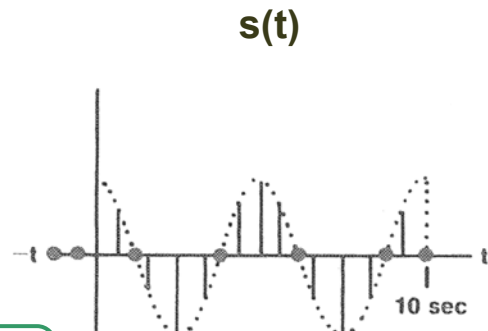
O **Leakage** é causado pela amostragem num número não inteiro de períodos!!!



## DFT – Amostragem Coerente

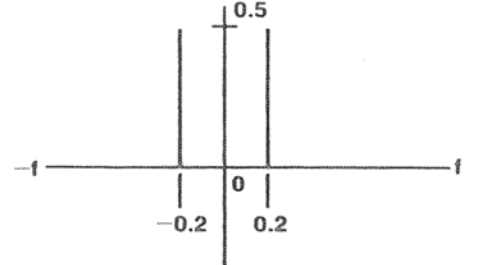
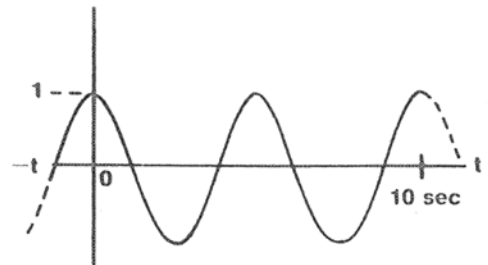
**0.2 Hz Co-seno**

- 5. Sampled windowed wave



$$s[n] \cdot u[n] \Leftrightarrow S(f) * U(f) \quad (\text{Convolução})$$

1. Cosine wave



Coherent sampling:  $N_C$  input cycles exactly into  $N_S = N_C (f_S/f_{IN})$  sampled points.



# DFT - Transformada Discreta de Fourier

Considere a sequência finita  $x[n]$  e a periódica associada  $\tilde{x}[n]$

$$\tilde{x}[n] = \sum_{r=-\infty}^{\infty} x[n - rN] \quad \text{ou} \quad \tilde{x}[n] = x[((n))_N]$$

Se comprimento de  $x[n] \leq N$

$$x[n] = \begin{cases} \tilde{x}[n], & 0 \leq n \leq N-1 \\ 0, & \text{outros} \end{cases}$$

Pela propriedade da Dualidade da DFS

# DFT - Transformada Discreta de Fourier

Temos que:

$$X[k] = \begin{cases} \tilde{X}[k], & 0 \leq k \leq N-1 \\ 0, & \text{outros} \end{cases}$$

$$\text{ou} \quad \tilde{X}[k] = X[((k))_N]$$

Podemos definir a **DFT de N pontos**:

Eq. de análise:

$$X[k] = \sum_{n=0}^{N-1} x[n] \cdot e^{-jk \frac{2\pi}{N} n}$$

Eq. de síntese:

$$x[n] = \frac{1}{N} \sum_{k=0}^{N-1} X[k] \cdot e^{jk \frac{2\pi}{N} n}$$

# DFT - Transformada Discreta de Fourier

$$x[n] = \frac{1}{N} \sum_{k=0}^{N-1} X[k].e^{jk \frac{2\pi}{N} n}$$

$$X[k] = \sum_{n=0}^{N-1} x[n].e^{-jk \frac{2\pi}{N} n}$$

$$x[n] \xleftarrow{DFT(N)} X[k]$$

## Interpretações:

- $\tilde{X}[k]$  DFS de  $x[n]$ , é uma amostragem do espectro  $X(\omega)$
- $X[k]$  uma amostragem de 1 período do espectro  $X(\omega)$  espectro do sinal não periódico.
- $X[k]$  é um período do espectro  $\tilde{X}[k]$  do sinal  $\tilde{x}[n]$  periódico associado

# DFT

DFT de um sinal contínuo não limitado no tempo

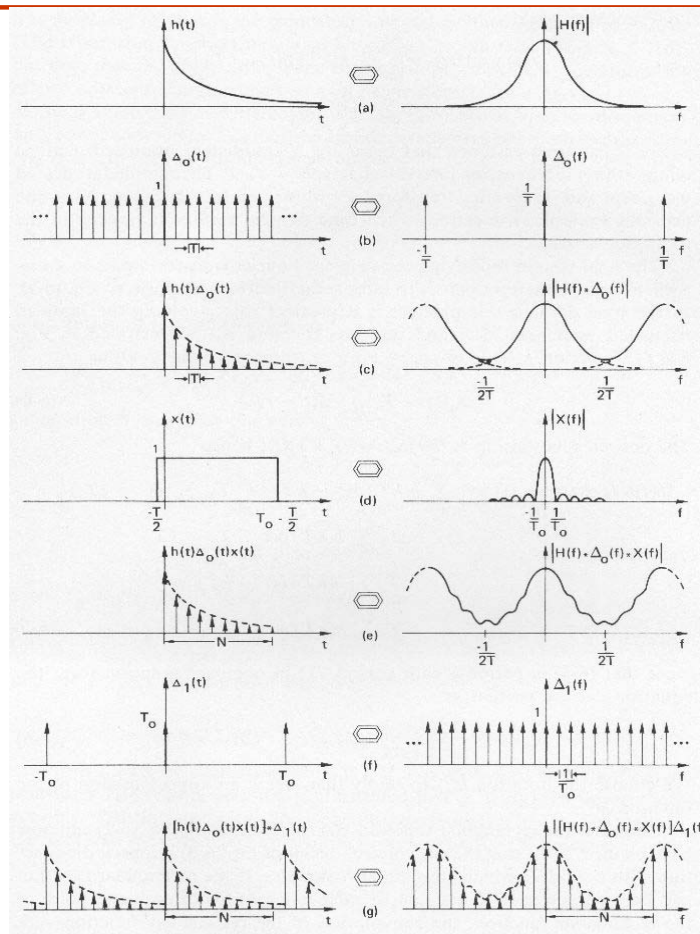
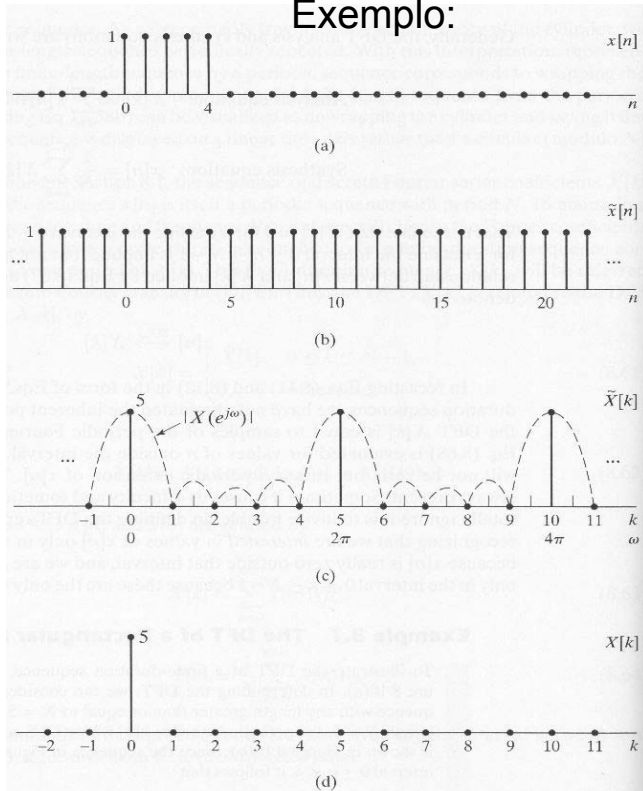


Figure 6-2. Graphical derivation of the discrete Fourier transform pair.

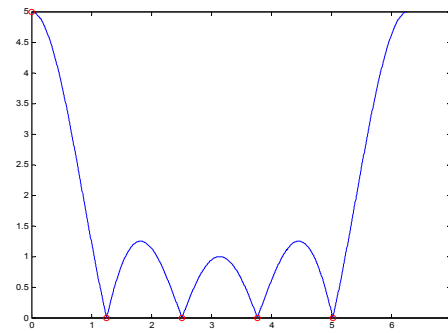
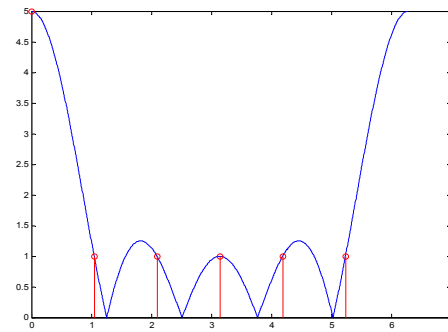
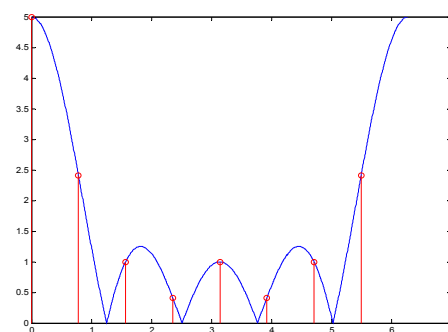
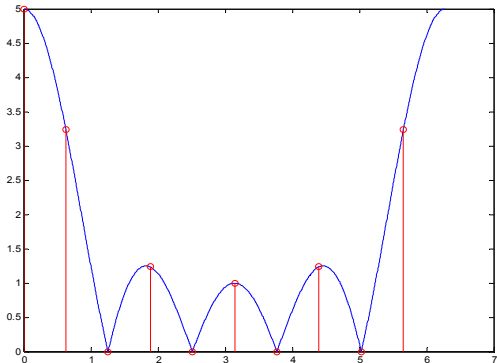
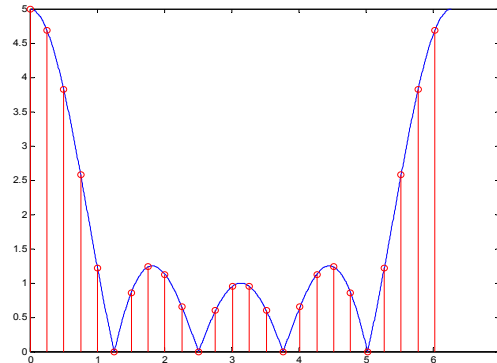
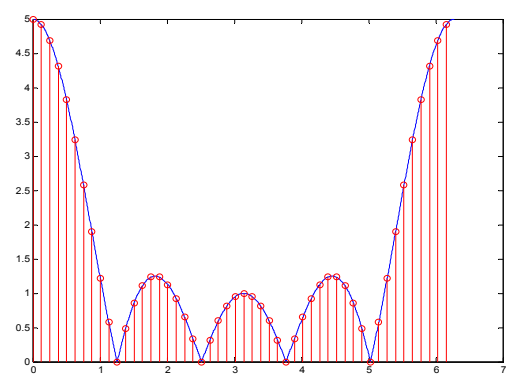
## Exemplo:



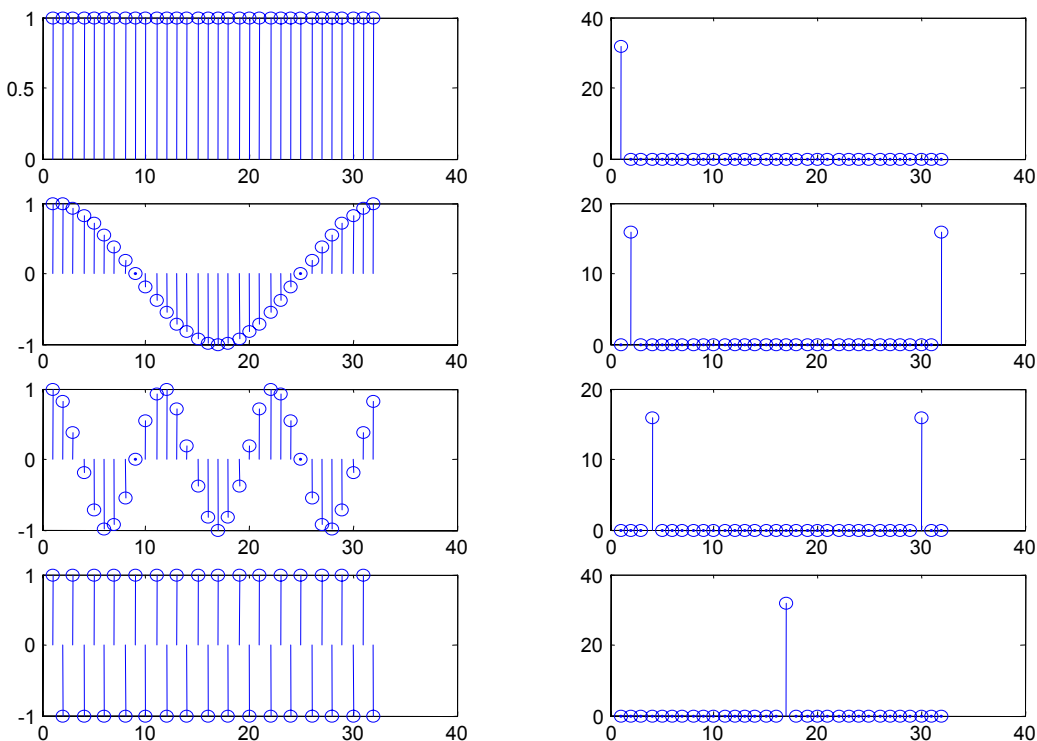
**Figure 8.10** Illustration of the DFT. (a) Finite-length sequence  $x[n]$ . (b) Periodic sequence  $\tilde{x}[n]$  formed from  $x[n]$  with period  $N = 5$ . (c) Fourier series coefficients  $\tilde{X}[k]$  for  $\tilde{x}[n]$ . To emphasize that the Fourier series coefficients are samples of the Fourier transform,  $|X(e^{j\omega})|$  is also shown. (d) DFT of  $x[n]$ .



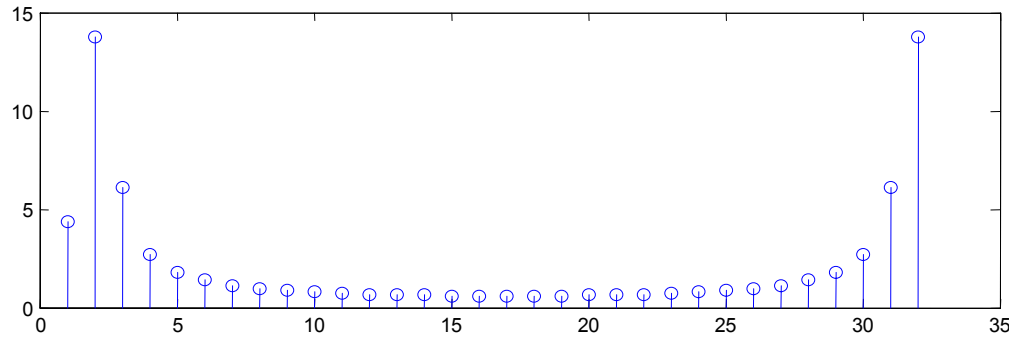
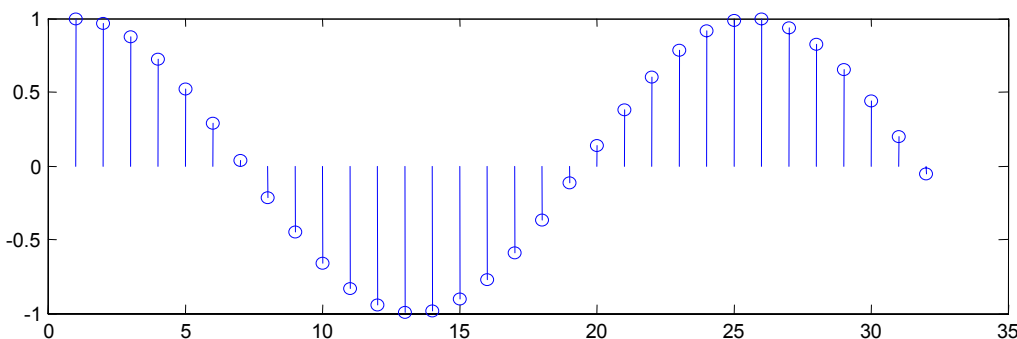
## aliasing

 $N=5$  $N=6$  $N=8$  $N=10$  $N=25$  $N=50$ 

# DFT – Sinais sinusoidais



Porém:



## DFT Sinal limitado em frequência com limitação igual ao período.

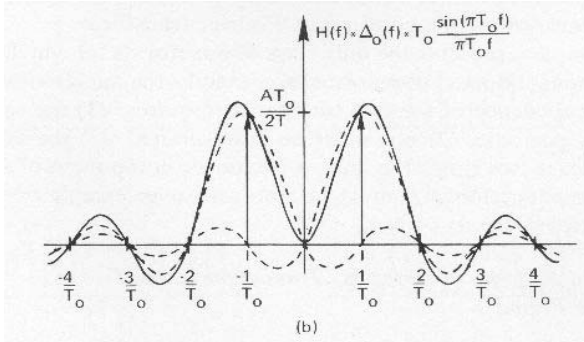


Figure 6-4. Expanded illustration of the convolution of Fig. 6-3(e).

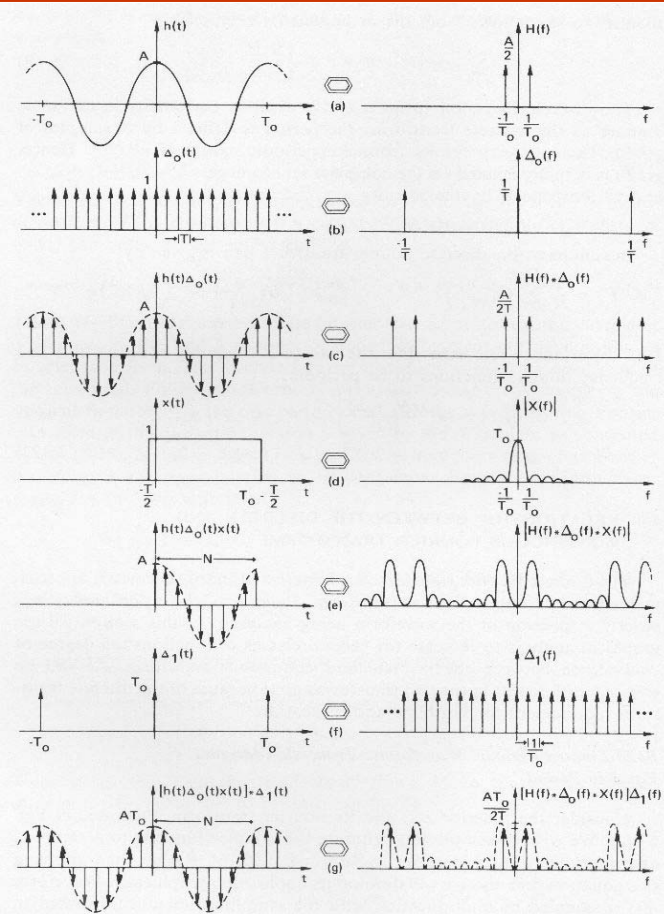


Figure 6-3. Discrete Fourier transform of a band-limited periodic waveform: truncation interval equal to period.

## DFT Sinal limitado em frequência com limitação diferente do período.

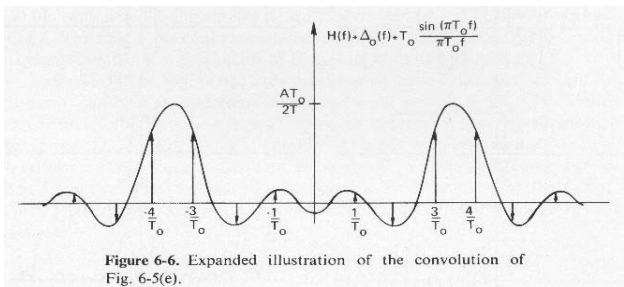


Figure 6-6. Expanded illustration of the convolution of Fig. 6-5(e).

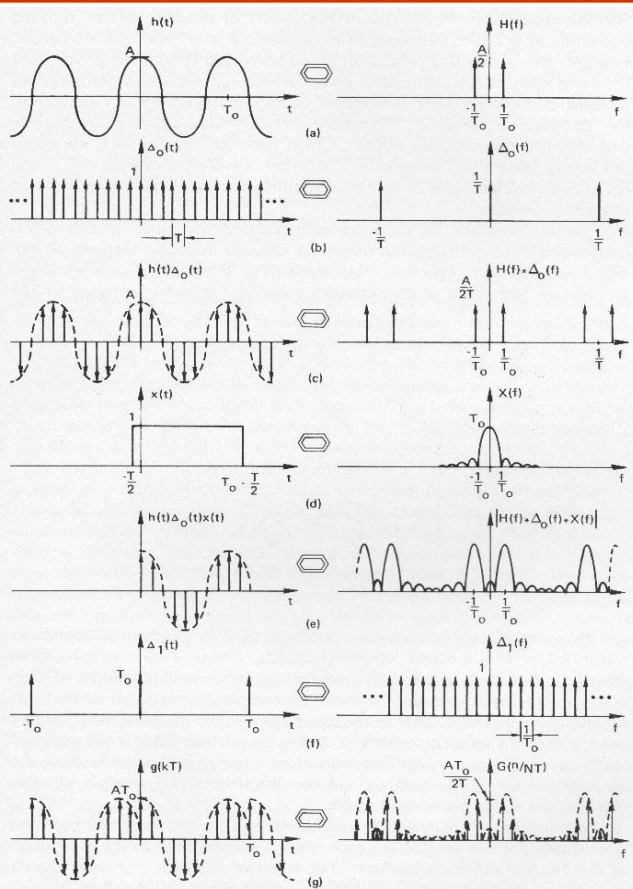


Figure 6-5. Discrete Fourier transform of a band-limited periodic waveform: truncation interval not equal to period.

## DFT - Propriedades

**Linearidade:**

$$\begin{aligned}x_1[n] &\xleftarrow{DFT(N_3)} X_1[k] \\x_2[n] &\xleftarrow{DFT(N_3)} X_2[k] \\a.x_1[n] + b.x_2[n] &\xleftarrow{DFT(N_3)} a.X_1[k] + b.X_2[k]\end{aligned}$$

$N_3 \geq \max\{N_1, N_2\}$

**Deslocamento Circular:**

$$x[((n-m))_N] \xleftarrow{DFT(N)} X[k].e^{-jk\frac{2\pi}{N}m}$$

$0 \leq n \leq N-1$

**Dualidade:**

$$\begin{aligned}x[n] &\xleftarrow{DFT(N)} X[k] \\X[n] &\xleftarrow{DFT(N)} N.x[(-k)]_N\end{aligned}$$

$0 \leq k \leq N-1$

## DFT - Convolução Circular

Nada mais é do que a convolução periódica considerando sinais de duração finita  $x_1[n]$  e  $x_2[n]$

**Linear:**

$$x_1[n]*x_2[n] = \sum_{m=-\infty}^{\infty} x_1[m].x_2[n-m]$$

Sinais ilimitados

**Periódica:**  
Sinais periódicos

$$\tilde{x}_2[n] \circledast \tilde{x}_2[n] = \sum_{M=0}^{N-1} \tilde{x}_1[m].\tilde{x}_2[n-m]$$

**Circular:**

Sinais limitados

$$x_1[n] \textcircled{\textcircled{N}} x_2[n] = \sum_{m=0}^{N-1} x_1[((m))_N].x_2[((n-m))_N]$$

$$x_1[n] \xleftarrow{DFT(N)} X_1[k]$$

$$x_2[n] \xleftarrow{DFT(N)} X_2[k]$$

$$x_1[n] \textcircled{\textcircled{N}} x_2[n] \xleftarrow{DFT(N)} X_1[k].X_2[k]$$

# DFT - Convolução Linear

Existem algoritmos muito eficientes p/ cálculo da DFT algoritmos de FFT - *Fast Fourier Transform*

Pelo que, é eficiente implementar a convolução de 2 sinais através dos seguintes passos:

1. Calcular as DFTs de  $x_1[n]$  e  $x_2[n]$ ,  $X_1[k]$  e  $X_2[k]$
2. Calcular  $X_3[k] = X_1[k] \cdot X_2[k]$
3. Calcular IDFT de  $X_3[k]$ ,  $x_3[n]$ , obtendo:

$$x_3[n] = x_1[n] \odot x_2[n]$$

Porém muitas vezes desejamos:  $x_3[n] = x_1[n] * x_2[n]$

Sendo:  $x_1[n]$  de comprimento  $L$   
 $x_2[n]$  de comprimento  $P$

O resultado da convolução circular de  $N$  amostras será igual à convolução linear se:

$$N \geq L + P - 1$$

Porém, se um dos sinais tiver comprimento indeterminado (processamento em tempo real).

Dois métodos implementam uma forma eficiente de cálculo da convolução linear através da DFT.

*Overlap-add* e *Overlap-save*

# DFT - Resumo das Propriedades

	Finite-Length Sequence (Length $N$ )	$N$ -point DFT (Length $N$ )
1.	$x[n]$	$X[k]$
2.	$x_1[n], x_2[n]$	$X_1[k], X_2[k]$
3.	$ax_1[n] + bx_2[n]$	$aX_1[k] + bX_2[k]$
4.	$X[n]$	$Nx[((-k))_N]$
5.	$x[((n-m))_N]$	$W_N^{km}X[k]$
6.	$W_N^{-\ell n}x[n]$	$X[((k-\ell))_N]$
7.	$\sum_{m=0}^{N-1} x_1(m)x_2[((n-m))_N]$	$X_1[k]X_2[k]$
8.	$x_1[n]x_2[n]$	$\frac{1}{N} \sum_{\ell=0}^{N-1} X_1(\ell)X_2[((k-\ell))_N]$
9.	$x^*[n]$	$X^*((-k))_N$
10.	$x^*[((-n))_N]$	$X^*[k]$
11.	$\mathcal{R}e\{x[n]\}$	$X_{ep}[k] = \frac{1}{2}\{X[((k))_N] + X^*((-k))_N\}$
12.	$j\mathcal{J}m\{x[n]\}$	$X_{op}[k] = \frac{1}{2}\{X[((k))_N] - X^*((-k))_N\}$
13.	$x_{ep}[n] = \frac{1}{2}\{x[n] + x^*[((-n))_N]\}$	$\mathcal{R}e\{X[k]\}$
14.	$x_{op}[n] = \frac{1}{2}\{x[n] - x^*[((-n))_N]\}$	$j\mathcal{J}m\{X[k]\}$
Properties 15–17 apply only when $x[n]$ is real.		
15.	Symmetry properties	$\begin{cases} X[k] = X^*((-k))_N \\ \mathcal{R}e\{X[k]\} = \mathcal{R}e\{X[((-k))_N]\} \\ \mathcal{J}m\{X[k]\} = -\mathcal{J}m\{X[((-k))_N]\} \\  X[k]  =  X[((-k))_N]  \\ \angle\{X[k]\} = -\angle\{X[((-k))_N]\} \end{cases}$
16.	$x_{ep}[n] = \frac{1}{2}\{x[n] + x[((-n))_N]\}$	$\mathcal{R}e\{X[k]\}$
17.	$x_{op}[n] = \frac{1}{2}\{x[n] - x[((-n))_N]\}$	$j\mathcal{J}m\{X[k]\}$